



GFPAE

Efeitos de flutuações nas amplitudes de espalhamento em altas energias

Eduardo André Flach Basso

andre.basso@ufrgs.br

Dissertação de mestrado

Orientação: Maria Beatriz Gay

Instituto de Física

Universidade Federal do Rio Grande do Sul

Trabalho financiado pelo CNPq



Sumário

- A Cromodinâmica Quântica
- Espalhamento Profundamente Inelástico (DIS)
- O referencial de dipolos
- A QCD em altas energias
- Evolução não linear das amplitudes de dipolos
- O modelo AGBS
- Flutuações no número de partículas e suas consequências para a QCD em altas energias
 - Evolução de dipolos com flutuações
 - Equações de evolução de laços de Pomerons
 - Equação de Langevin e sua conexão com processos de reação–difusão
 - Flutuações no modelo AGBS
- Resultados
- Conclusões e perspectivas



Cromodinâmica Quântica

- A QCD é uma teoria de calibre que descreve as interações fortes entre **quarks** (spin $1/2 - q$) e **glúons** (spin $1 - A_\mu^A$) – pártons.
- Grupo de simetria $SU(N_c)$, $N_c = 3$, onde a carga de **cor** é introduzida como novo grau de liberdade

$$[t^A, t^B] = if^{ABC} t^C$$

- A Lagrangiana da teoria pode ser escrita como

$$\mathcal{L} = -\frac{1}{4} F_{\mu\nu}^A F_A^{\mu\nu} + \sum_{\text{sabores}} \bar{q}_a (\gamma^\mu D_\mu - m)_{ab} q_b + \mathcal{L}_{\text{fix. calibre}} + \mathcal{L}_{\text{fantasma}}$$

onde $F_{\mu\nu}^A = \partial_\mu A_\nu^A - \partial_\nu A_\mu^A - g_s f^{ABC} A_\mu^B A_\nu^C$

- Propriedades peculiares da QCD:

Confinamento

Liberdade assintótica



Cromodinâmica Quântica

- A QCD é uma teoria de calibre que descreve as interações fortes entre **quarks** (spin 1/2 - q) e **glúons** (spin 1 - A_μ^A) – pártons.
- Grupo de simetria $SU(N_c)$, $N_c = 3$, onde a carga de **cor** é introduzida como novo grau de liberdade

$$[t^A, t^B] = if^{ABC} t^C$$

- A Lagrangiana da teoria pode ser escrita como

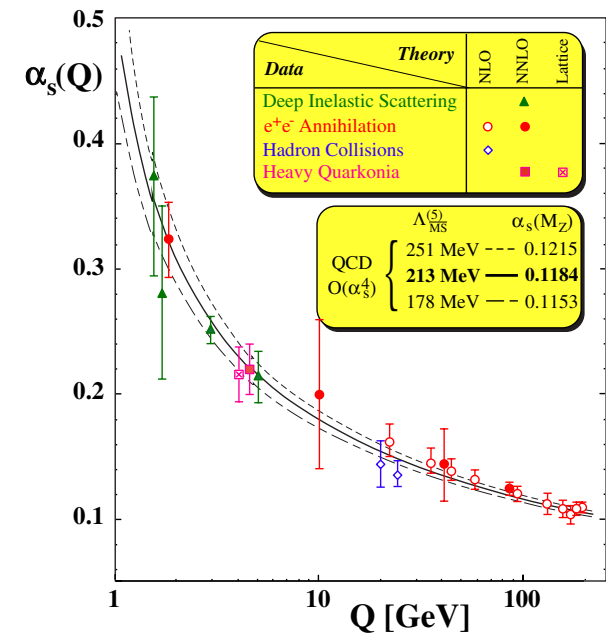
$$\mathcal{L} = -\frac{1}{4} F_{\mu\nu}^A F_A^{\mu\nu} + \sum_{\text{sabores}} \bar{q}_a (\not{v} \gamma^\mu D_\mu - m)_{ab} q_b + \mathcal{L}_{\text{fix. calibre}} + \mathcal{L}_{\text{fantasma}}$$

onde $F_{\mu\nu}^A = \partial_\mu A_\nu^A - \partial_\nu A_\mu^A - g_s f^{ABC} A_\mu^B A_\nu^C$

- Propriedades peculiares da QCD:

Confinamento

Liberdade assintótica





Cromodinâmica Quântica

- A QCD é uma teoria de calibre que descreve as interações fortes entre **quarks** (spin 1/2 - q) e **glúons** (spin 1 - A_μ^A) – pártons.
- Grupo de simetria $SU(N_c)$, $N_c = 3$, onde a carga de **cor** é introduzida como novo grau de liberdade

$$[t^A, t^B] = if^{ABC} t^C$$

- A Lagrangiana da teoria pode ser escrita como

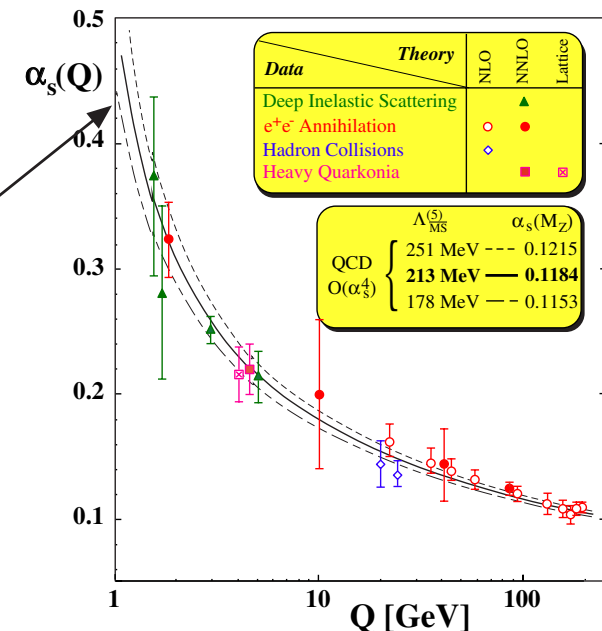
$$\mathcal{L} = -\frac{1}{4} F_{\mu\nu}^A F_A^{\mu\nu} + \sum_{\text{sabores}} \bar{q}_a (i\gamma^\mu D_\mu - m)_{ab} q_b + \mathcal{L}_{\text{fix. calibre}} + \mathcal{L}_{\text{fantasma}}$$

onde $F_{\mu\nu}^A = \partial_\mu A_\nu^A - \partial_\nu A_\mu^A - g_s f^{ABC} A_\mu^B A_\nu^C$

- Propriedades peculiares da QCD:

Confinamento

Liberdade assintótica





Cromodinâmica Quântica

- A QCD é uma teoria de calibre que descreve as interações fortes entre **quarks** (spin 1/2 - q) e **glúons** (spin 1 - A_μ^A) – pártons.
- Grupo de simetria $SU(N_c)$, $N_c = 3$, onde a carga de **cor** é introduzida como novo grau de liberdade

$$[t^A, t^B] = if^{ABC} t^C$$

- A Lagrangiana da teoria pode ser escrita como

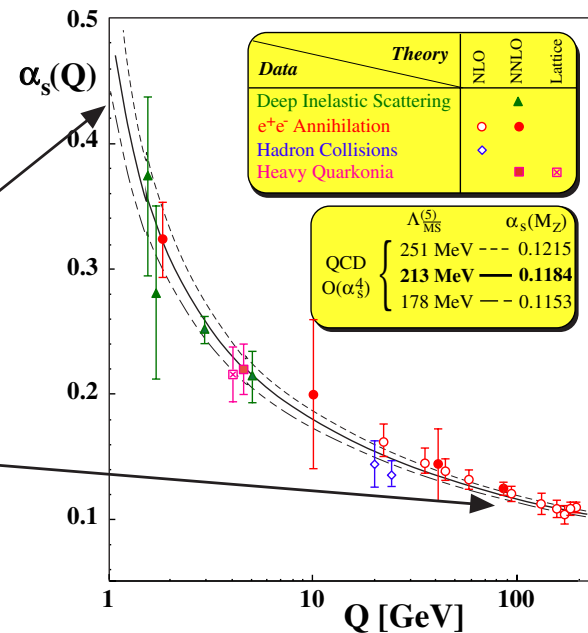
$$\mathcal{L} = -\frac{1}{4} F_{\mu\nu}^A F_A^{\mu\nu} + \sum_{\text{sabores}} \bar{q}_a (\not{v} \gamma^\mu D_\mu - m)_{ab} q_b + \mathcal{L}_{\text{fix. calibre}} + \mathcal{L}_{\text{fantasma}}$$

onde $F_{\mu\nu}^A = \partial_\mu A_\nu^A - \partial_\nu A_\mu^A - g_s f^{ABC} A_\mu^B A_\nu^C$

- Propriedades peculiares da QCD:

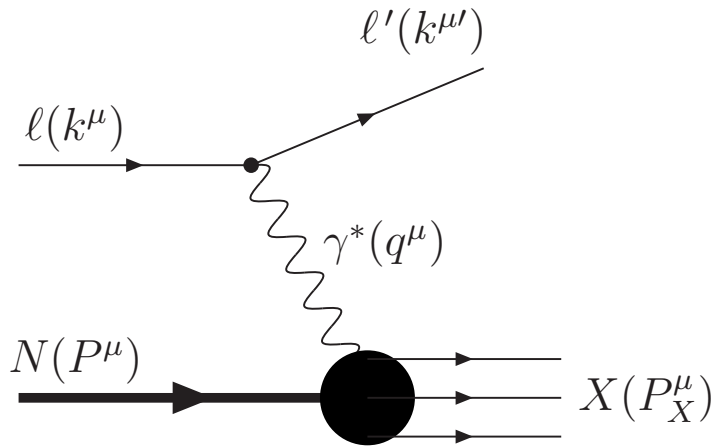
Confinamento

Liberdade assintótica



DIS

Variáveis cinemáticas



- Quadrado da energia total do sistema $\gamma^* N$

$$W^2 = (P + q)^2$$

- Virtualidade do fóton

$$q^2 = (k - k')^2 = -Q^2 < 0$$

- Variável de Bjorken

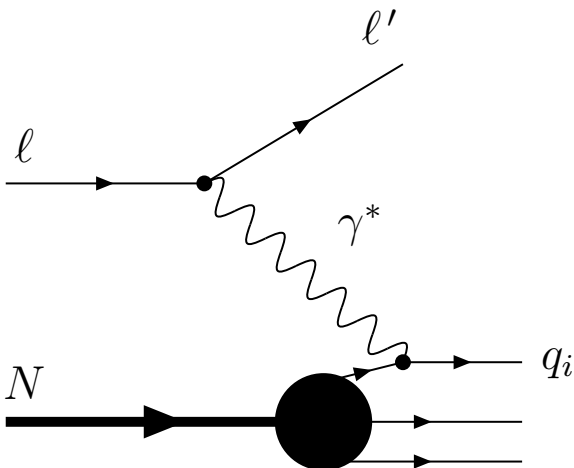
$$x \equiv x_{Bj} = \frac{Q^2}{2P \cdot q} = \frac{Q^2}{Q^2 + W^2}$$

- Rapidez

$$Y \equiv \ln(1/x)$$

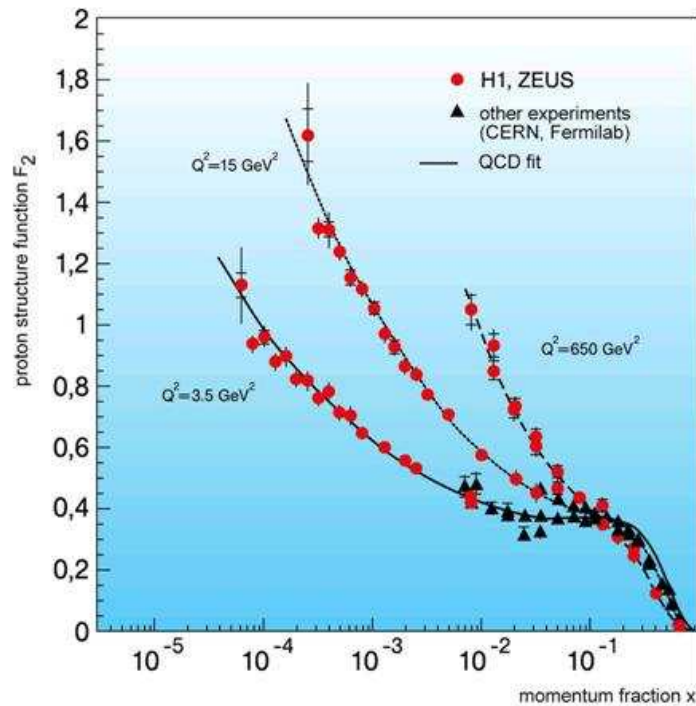
- Limite de altas energias:

$$W^2 \rightarrow \infty, \quad x \approx \frac{Q^2}{W^2} \rightarrow 0$$



DIS em HERA

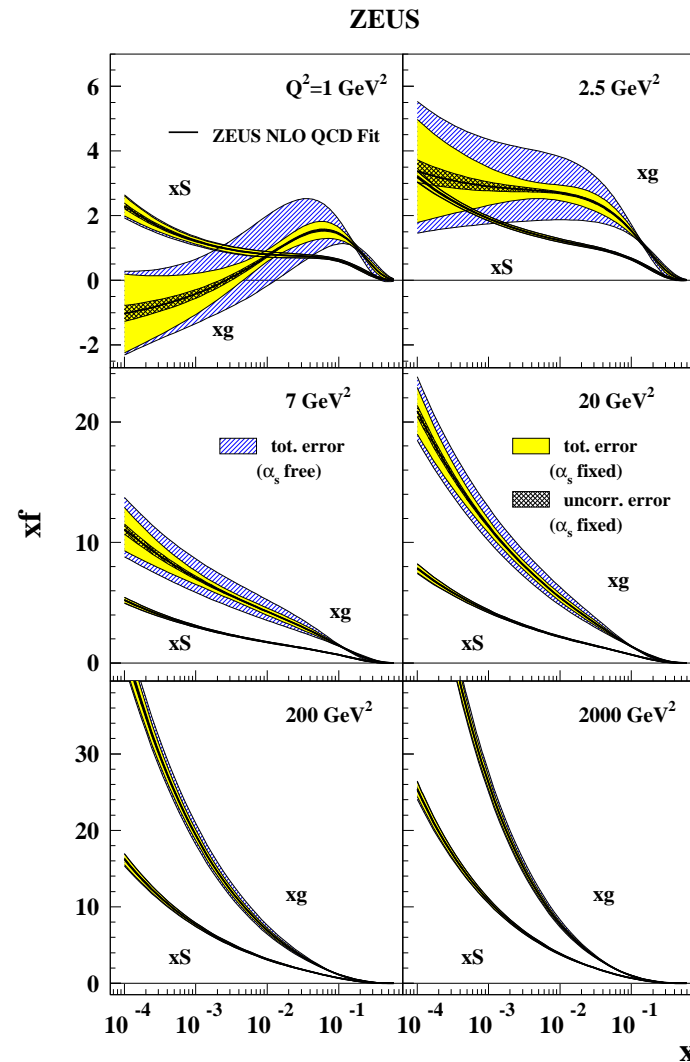
Foster 2003



[Foster - LHCP2003]

$$F_2 = x \sum_i e_i^2 f_i(x)$$

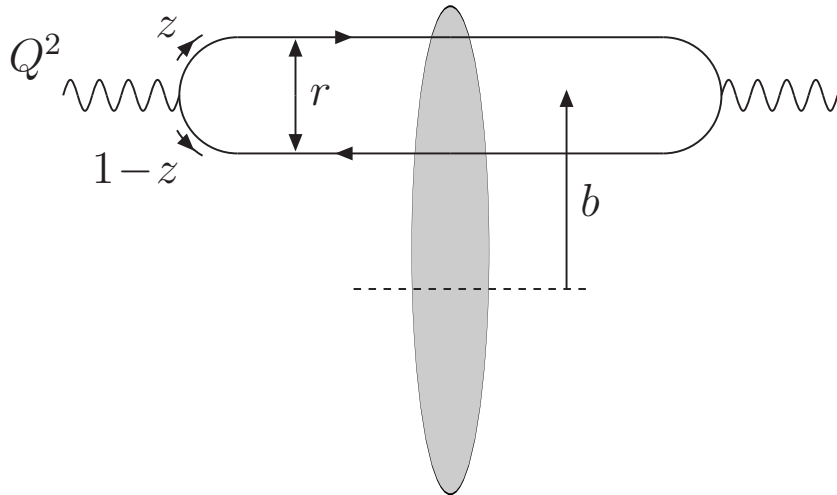
$$\sigma^{\gamma^* N}(x, Q^2) = \frac{4\pi^2 \alpha_{em}}{Q^2} F_2(x, Q^2)$$





DIS no referencial de dipolos

Alvo com maior parte do momentum do processo



$$|\gamma^*\rangle = \sum |q\bar{q}\rangle + |q\bar{q}g\rangle$$

r : tamanho do dipolo

b : parâmetro de impacto

z : fração de momentum portada pelo quark

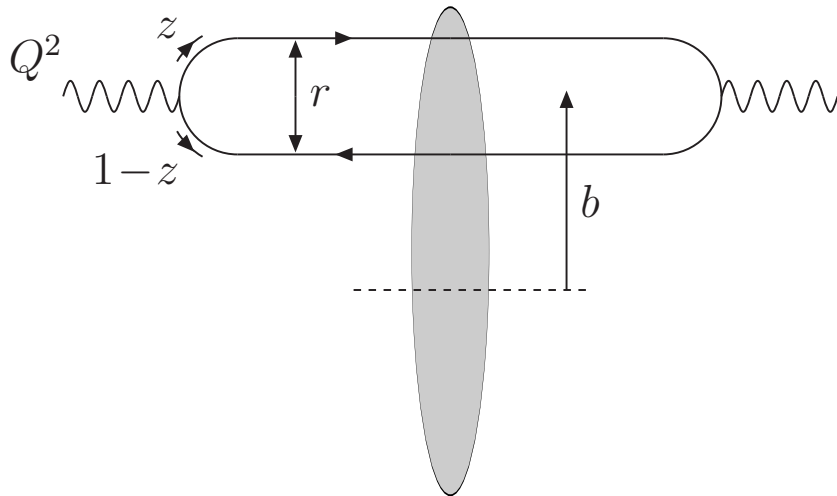
● A seção de choque assume a forma fatorizada, para pequeno x

$$\sigma_{T,L}^{\gamma^*p}(Y, Q^2) = \int d^2r \int_0^1 dz |\Psi_{T,L}(r, z; Q^2)|^2 \sigma_{dip}(r, Y)$$



DIS no referencial de dipolos

Alvo com maior parte do momentum do processo



$$|\gamma^*\rangle = \sum |q\bar{q}\rangle + |q\bar{q}g\rangle$$

r : tamanho do dipolo

b : parâmetro de impacto

z : fração de momentum portada pelo quark

● A seção de choque assume a forma fatorizada, para pequeno x

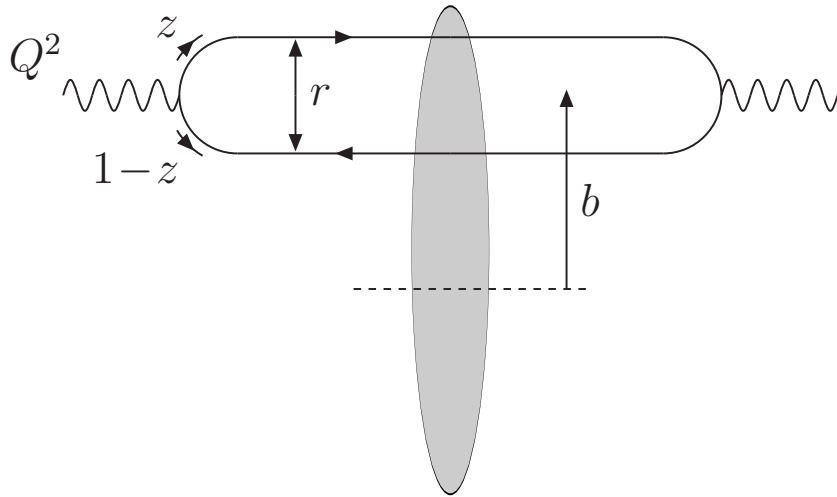
$$\sigma_{T,L}^{\gamma^*p}(Y, Q^2) = \int d^2r \int_0^1 dz |\Psi_{T,L}(r, z; Q^2)|^2 \sigma_{dip}(r, Y)$$

Fenomenologia: **GBW**, **IIM**, **AGBS**

DIS no referencial de dipolos

Alvo com maior parte do momentum do processo

$$|\gamma^*\rangle = \sum |q\bar{q}\rangle + |q\bar{q}g\rangle$$



r : tamanho do dipolo

b : parâmetro de impacto

z : fração de momentum portada pelo quark

- A seção de choque assume a forma fatorizada, para pequeno x

$$\sigma_{T,L}^{\gamma^*p}(Y, Q^2) = \int d^2r \int_0^1 dz |\Psi_{T,L}(r, z; Q^2)|^2 \sigma_{dip}(r, Y)$$

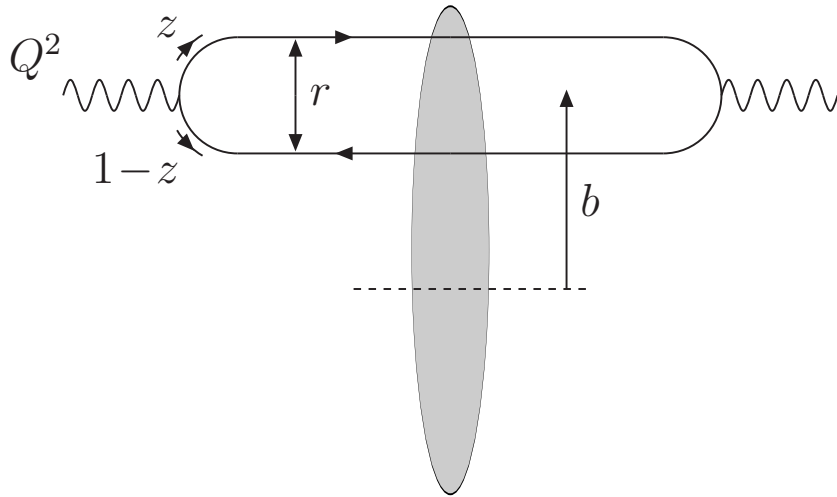
Fenomenologia: **GBW**, **IIM**, **AGBS**

- Assumindo independência sobre o parâmetro de impacto, a seção de choque dipolo-próton é dada por

$$\sigma_{dip}(r, Y) = 2\pi R_p^2 T(r, Y)$$

DIS no referencial de dipolos

Alvo com maior parte do momentum do processo



$$|\gamma^*\rangle = \sum |q\bar{q}\rangle + |q\bar{q}g\rangle$$

r : tamanho do dipolo

b : parâmetro de impacto

z : fração de momentum portada pelo quark

- A seção de choque assume a forma fatorizada, para pequeno x

$$\sigma_{T,L}^{\gamma^*p}(Y, Q^2) = \int d^2r \int_0^1 dz |\Psi_{T,L}(r, z; Q^2)|^2 \sigma_{dip}(r, Y)$$

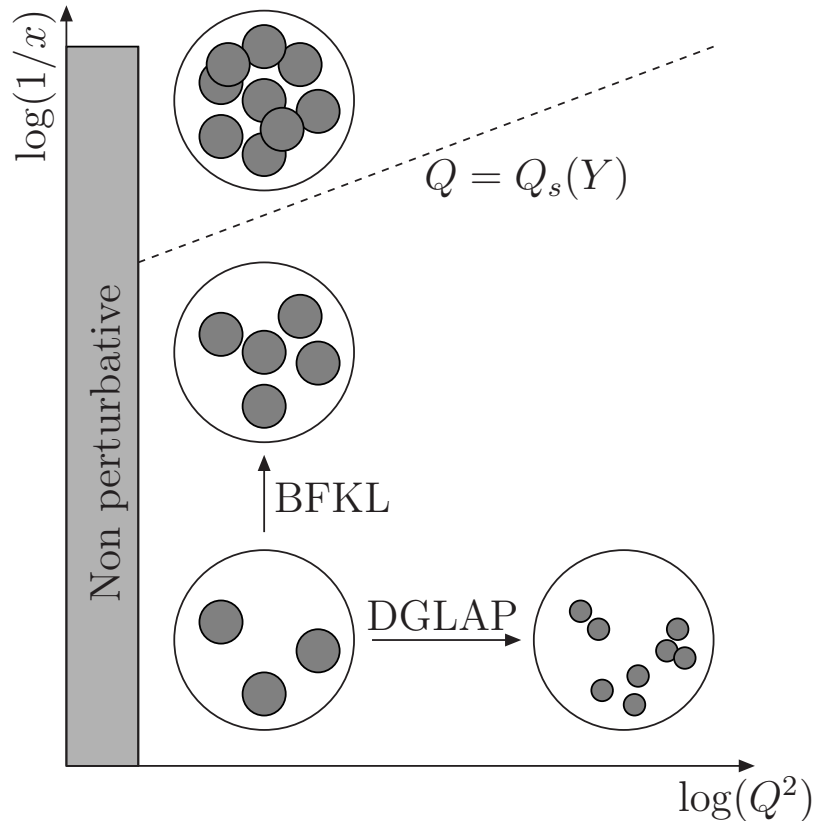
Fenomenologia: **GBW**, **IIM**, **AGBS**

- Assumindo independência sobre o parâmetro de impacto, a seção de choque dipolo-próton é dada por

$$\sigma_{dip}(r, Y) = 2\pi R_p^2 T(r, Y)$$

- Evolução de $T(r, Y)$ no formalismo de dipolos: limite de grande N_c , **glúon** \equiv **dipolo**

QCD em altas energias

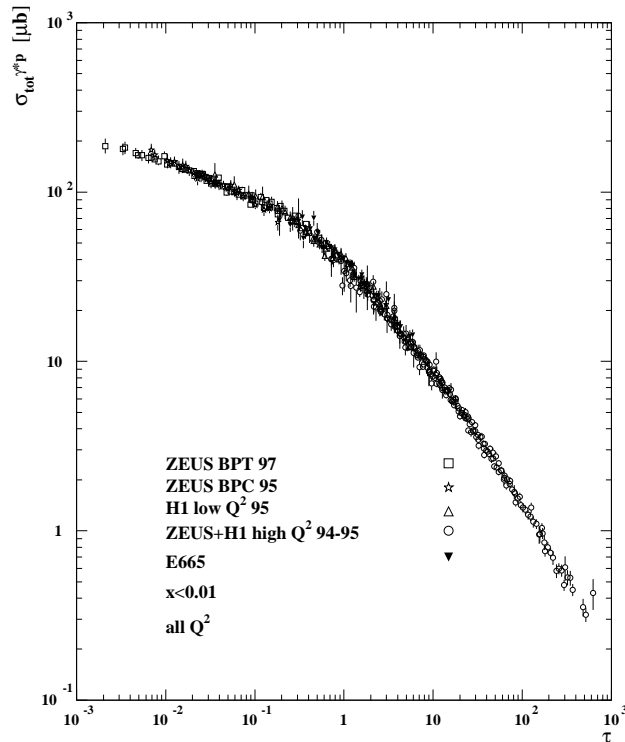


- Equações de evolução lineares **DGLAP** e **BFKL**
- Ambas falham na região de $x \rightarrow 0$: violam unitariedade de σ_{tot}
- Para $x \rightarrow 0$, devem ser considerados efeitos de recombinação de glúons e múltiplos espalhamentos \Rightarrow **saturação**
- $Q_s^2(Y) \equiv$ **escala de saturação**
- **saturação** \Rightarrow evolução **não linear**

- Dinâmicas de QCD pura: **GLR**, **AGL**
- No formalismo de dipolos: **hierarquia de Balitsky**, **BK** \rightarrow Evolução para $T(r, Y)$
- Teoria de campo efetiva: **CGC** \Rightarrow **JIMWLK**

Escalamento geométrico e Saturação

Stasto, Golec-Biernat, Kwiecinsky
2001



$$\tau = \frac{Q^2}{Q_s^2(Y)}$$

- Escalamento geométrico observado em HERA:

$$\sigma^{\gamma^* p}(Y, Q^2) = \sigma^{\gamma^* p} \left(\frac{Q^2}{Q_s^2(Y)} \right)$$

- No referencial de dipolos

$$\sigma_{dip}(r, Y) = \sigma_{dip}(r^2 Q_s^2(Y)) \propto T(r^2 Q_s^2(Y))$$

- Somente modelos fenomenológicos de saturação descrevem o escalamento das seções de choque em HERA
- $Q_s^2(Y) \equiv$ escala de saturação marca um limite superior aproximado para a região onde efeitos de saturação devem ser importantes



Evolução não linear de dipolos

Hierarquia de Balitsky $\mathcal{M}(\mathbf{x}, \mathbf{y}, \mathbf{z}) = \frac{(\mathbf{x}-\mathbf{y})^2}{(\mathbf{x}-\mathbf{z})^2(\mathbf{y}-\mathbf{z})^2}$ $\bar{\alpha} = \alpha_s N_c / \pi$

$$\frac{\partial}{\partial Y} \langle T(\mathbf{x}, \mathbf{y}) \rangle_Y = \frac{\bar{\alpha}}{2\pi} \int d^2 z \mathcal{M}(\mathbf{x}, \mathbf{y}, \mathbf{z})$$

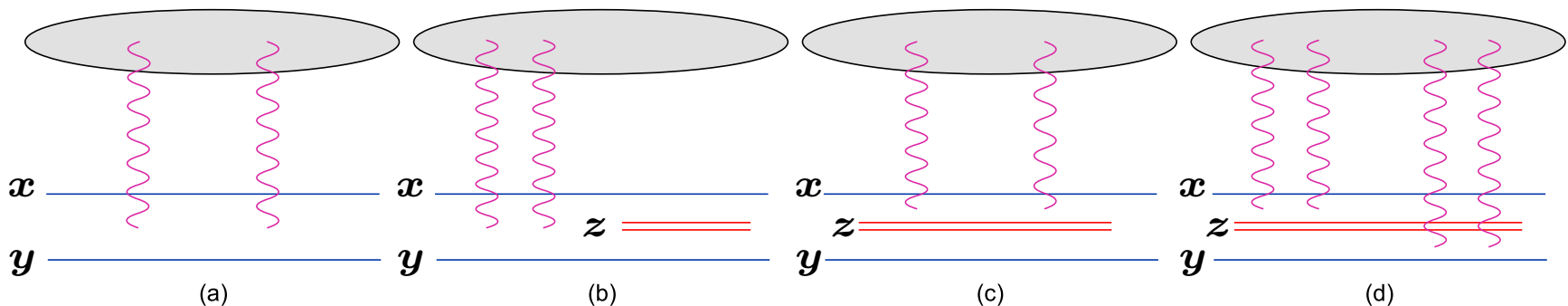
$$\times \left\{ -\langle T(\mathbf{x}, \mathbf{y}) \rangle_Y + \langle T(\mathbf{x}, \mathbf{z}) \rangle_Y + \langle T(\mathbf{z}, \mathbf{y}) \rangle_Y - \langle T(\mathbf{x}, \mathbf{z}) T(\mathbf{z}, \mathbf{y}) \rangle_Y \right\}$$

$$\vdots$$

Campo médio: $\langle T(\mathbf{x}, \mathbf{z}) T(\mathbf{y}, \mathbf{z}) \rangle_Y \approx \langle T(\mathbf{x}, \mathbf{z}) \rangle_Y \langle T(\mathbf{y}, \mathbf{z}) \rangle_Y \Rightarrow$ equação BK

$$\frac{\partial}{\partial Y} \langle T(\mathbf{x}, \mathbf{y}) \rangle_Y = \frac{\bar{\alpha}}{2\pi} \int d^2 z \mathcal{M}(\mathbf{x}, \mathbf{y}, \mathbf{z})$$

$$\times \left\{ -\langle T(\mathbf{x}, \mathbf{y}) \rangle_Y + \langle T(\mathbf{x}, \mathbf{z}) \rangle_Y + \langle T(\mathbf{z}, \mathbf{y}) \rangle_Y - \langle T(\mathbf{x}, \mathbf{z}) \rangle_Y \langle T(\mathbf{z}, \mathbf{y}) \rangle_Y \right\}$$





Propriedades das amplitudes

- O comportamento analítico das amplitudes BK pode ser obtido na analogia entre a **QCD** e processos de **reação-difusão**
- Analogia originalmente obtida no espaço de momentum. Por meio da transformada de Fourier

$$\tilde{T}(k, Y) = \frac{1}{2\pi} \int \frac{d^2r}{r^2} e^{i\mathbf{k}\cdot\mathbf{r}} T(r, Y) = \int_0^\infty \frac{dr}{r} J_0(kr) T(r, Y)$$

a equação BK toma a forma ($\tilde{T}(k, Y)$ independente de \mathbf{b})

$$\partial_Y \tilde{T} = \bar{\alpha} \chi(-\partial_L) \tilde{T} - \bar{\alpha} \tilde{T}^2$$

onde

$$\chi(\gamma) = 2\psi(1) - \psi(\gamma) - \psi(1 - \gamma)$$

é a função característica no núcleo da equação BFKL em ordem dominante e $L = \log(k^2/k_0^2)$

- Na aproximação difusiva para $\chi(\gamma)$

$$\chi(-\partial_L) = \chi(\gamma_c) + (-\partial_L - \gamma_c 1) \chi'(\gamma_c) + \frac{1}{2} (-\partial_L - \gamma_c 1)^2 \chi''(\gamma_c)$$

e sob as transformações $t = \bar{\alpha} Y$, $x \propto L$ e $u = \tilde{T}$ temos que **BK** \equiv **FKPP** (Munier e Peschansky - 2004)

$$\partial_t u(x, t) = \partial_x^2 u(x, t) + u(x, t) - u^2(x, t)$$

Propriedades das amplitudes

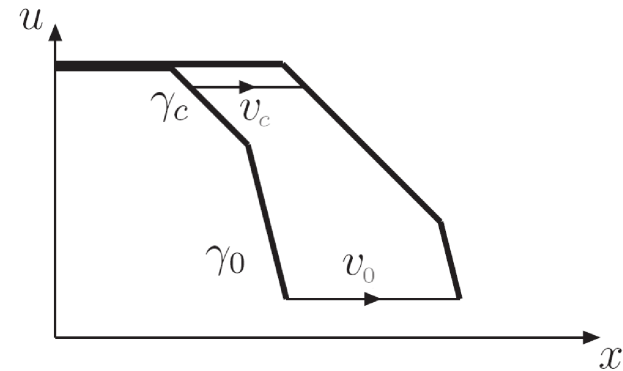
● FKPP admite as chamadas *soluções de ondas propagantes*: $u(x, t) \stackrel{t \rightarrow \infty}{\sim} u(x - v_c t)$

● $u = 0$ instável e $u = 1$ estável.

● $\gamma_0 > \gamma_c$

$$\bullet u(x, t) = \int_{c-i\infty}^{c+i\infty} \frac{d\gamma}{2i\pi} u_0(\gamma) e^{-\gamma(x_{wf} + vt) + \omega(\gamma)t}$$

$$v_c = \frac{\omega(\gamma_c)}{\gamma_c} = \partial_\gamma \omega(\gamma) |_{\gamma_c}$$



● Nas variáveis da QCD : $\omega(\gamma_c) = \chi(\gamma_c) \Rightarrow \gamma_c = 0.6275$

● Resultado: escalamento geométrico das amplitudes: $\tilde{T}(k, Y) \stackrel{Y \gg 1}{\cong} \tilde{T}\left(\frac{k^2}{Q_s^2(Y)}\right)$, onde $Q_s^2(Y)$ mede a posição da frente de onda

● A expressão para a cauda da amplitude (regime diluto) é dada por

$$\tilde{T}(k, Y) \stackrel{k \gg Q_s}{\approx} \left(\frac{k^2}{Q_s^2(Y)}\right)^{-\gamma_c} \log\left(\frac{k^2}{Q_s^2(Y)}\right) \exp\left[-\frac{\log^2(k^2/Q_s^2(Y))}{2\bar{\alpha}\chi''(\gamma_c)Y}\right]$$

$$Q_s^2(Y) = k_0^2 \exp\left(v_c Y - \frac{3}{2\gamma_c} \log Y\right)$$



O modelo AGBS

Amaral, Gay Ducati, Betemps, Soyez - 2007

- Na região de saturação, mostra-se que a amplitude se comporta como

$$\tilde{T} \left(\frac{k}{Q_s(Y)}, Y \right) \stackrel{k \ll Q_s}{\approx} c - \log \left(\frac{k}{Q_s(Y)} \right)$$

- O modelo AGBS interpola analiticamente os comportamentos diluto e saturado:

$$\tilde{T}(k, Y) = \left[\log \left(\frac{k}{Q_s} + \frac{Q_s}{k} \right) + 1 \right] \left(1 - e^{-T_{\text{dil}}} \right)$$

onde

$$T_{\text{dil}} = \exp \left[-\gamma_c \log \left(\frac{k^2}{Q_s^2(Y)} \right) - \frac{L_{\text{red}}^2 - \log^2(2)}{2\bar{\alpha}\chi''(\gamma_c)Y} \right]$$

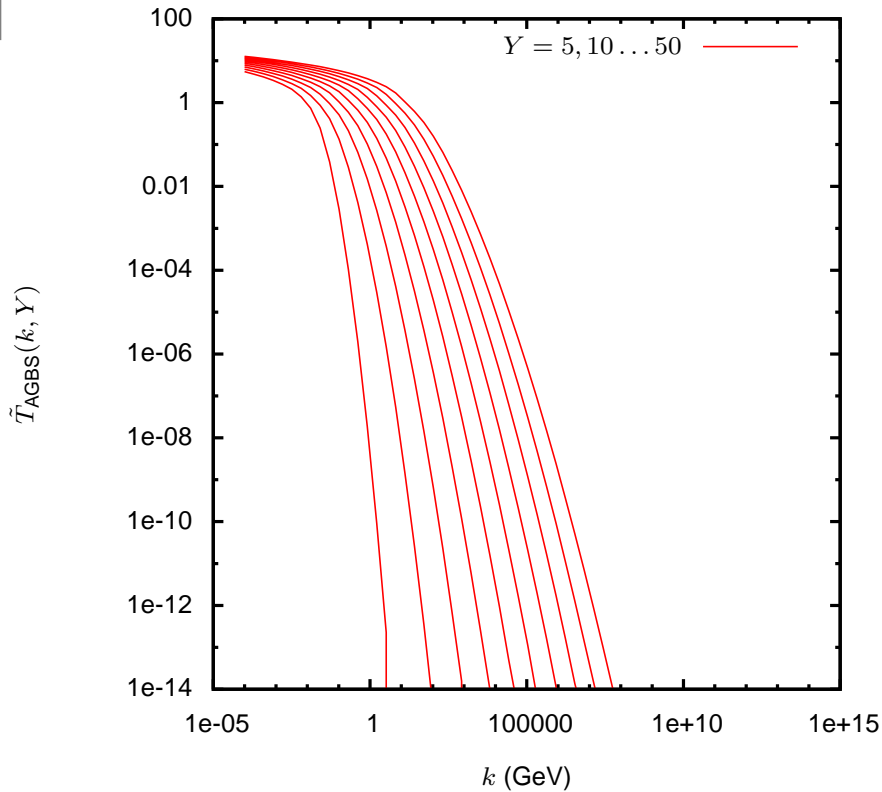
e

$$L_{\text{red}} = \log \left[1 + \frac{k^2}{Q_s^2(Y)} \right] \quad \text{com} \quad Q_s^2(Y) = k_0^2 e^{\lambda Y}$$

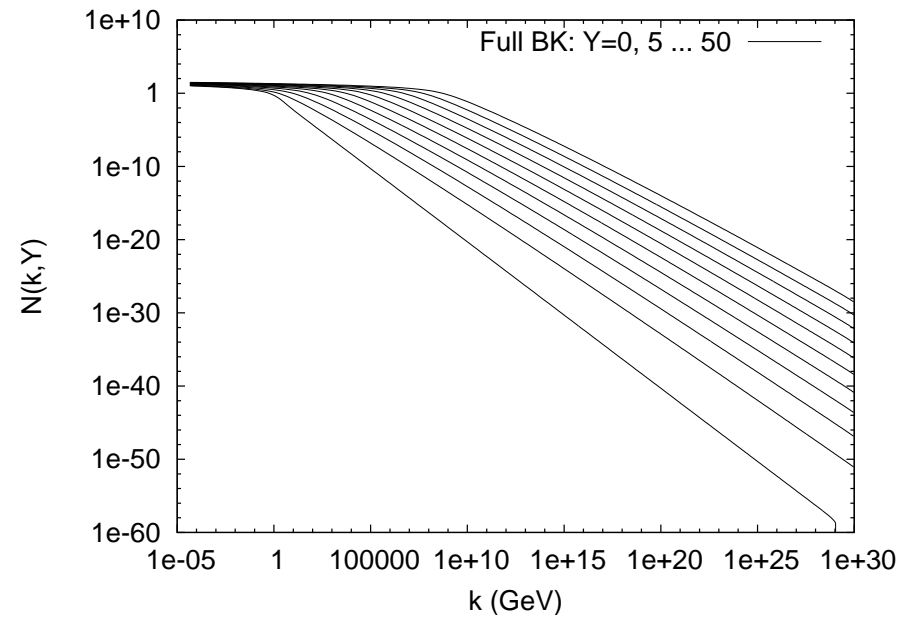
- Ajuste à F_2 no espaço de momentum

$$F_2(x, Q^2) = \frac{Q^2 R_p^2 N_c}{4\pi^2} \int_0^\infty \frac{dk}{k} \int_0^1 dz |\tilde{\Psi}(k^2, z; Q^2)|^2 T(k, Y)$$

O modelo AGBS



Enberg, Golec-Biernat, Munier - 2005



- O modelo AGBS ajusta bem os dados de HERA, incluindo a contribuição de quarks **charm**

Evolução dipolar com flutuações

- Ensemble estocástico de configurações de dipolos (Iancu, Mueller - 2004)

$$\begin{aligned} \partial_Y P_N(\{z_i\}; Y) = & -\frac{\bar{\alpha}}{2\pi} \left[\sum_{i=1}^N \int d^2 \mathbf{z} \mathcal{M}(\mathbf{z}_{i-1}, \mathbf{z}_i, \mathbf{z}) \right] P_N(\{z_i\}; Y) \\ & + \frac{\bar{\alpha}}{2\pi} \sum_{i=1}^{N-1} \mathcal{M}(\mathbf{z}_{i-1}, \mathbf{z}_{i+1}, \mathbf{z}) P_{N-1}(\mathbf{z}_1, \dots, \mathbf{z}_{i-1}, \mathbf{z}_{i+1}, \dots, \mathbf{z}_{N-1}; Y) \end{aligned} \quad (1)$$

- C.I.: $P_N(Y=0) = \delta_{N1}$. Valor esperado de um operador $\mathcal{O} \equiv \mathcal{O}(r)$

$$\langle \mathcal{O}(Y) \rangle = \sum_{N=1}^{\infty} \int d\Gamma_N P_N(\{z_i\}; Y) \mathcal{O}_N(\{z_i\})$$

com $d\Gamma_N = d^2 \mathbf{z}_1 d^2 \mathbf{z}_2 \dots d^2 \mathbf{z}_{N-1}$. Usando a equação mestra (1) temos que

$$\begin{aligned} \partial_Y \langle \mathcal{O}_N(Y) \rangle = & \frac{\bar{\alpha}}{2\pi} \sum_{N=1}^{\infty} \int d\Gamma_N P_N(\{z_i\}; Y) \sum_{i=1}^N \int d^2 \mathbf{z} \mathcal{M}(\mathbf{z}_{i-1}, \mathbf{z}_i, \mathbf{z}) \\ & \times [-\mathcal{O}_N(\{z_i\}) + \mathcal{O}_{N+1}(\{\mathbf{z}_1, \dots, \mathbf{z}_{i-1}, \mathbf{z}, \mathbf{z}_i, \dots, \mathbf{z}_{N-1}\})]. \end{aligned} \quad (2)$$

Evolução dipolar com flutuações

densidade média do número de dipolos para uma configuração de N dipolos

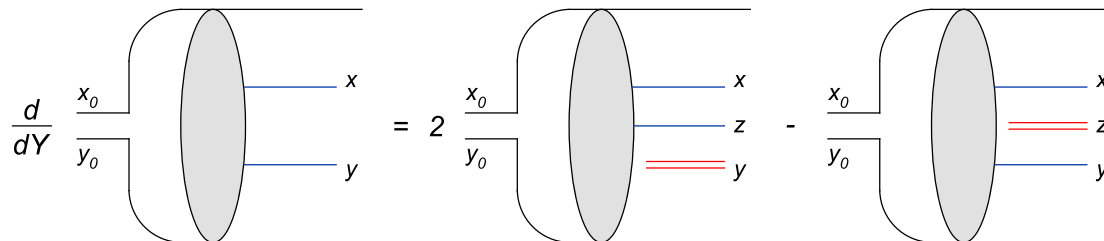
$$n_N(\mathbf{x}, \mathbf{y}) = \sum_{j=1}^N \delta^{(2)}(\mathbf{z}_{j-1} - \mathbf{x}) \delta^{(2)}(\mathbf{z}_j - \mathbf{y})$$

Para $n_Y(\mathbf{x}, \mathbf{y}) \equiv \langle n_Y(\mathbf{x}, \mathbf{y}) \rangle_Y$ a eq. (2) fornece

$$\frac{\partial n_Y(\mathbf{x}, \mathbf{y})}{\partial Y} = \frac{\bar{\alpha}}{2\pi} \int d^2 \mathbf{z} \mathcal{M}_{\mathbf{x}\mathbf{y}\mathbf{z}} \otimes n_Y(\mathbf{x}, \mathbf{y})$$

onde usamos a notação

$$\mathcal{M}_{\mathbf{x}\mathbf{y}\mathbf{z}} \otimes n_Y(\mathbf{x}, \mathbf{y}) = \mathcal{M}(\mathbf{x}, \mathbf{y}, \mathbf{z}) [-n_Y(\mathbf{x}, \mathbf{y}) + n_Y(\mathbf{x}, \mathbf{z}) + n_Y(\mathbf{z}, \mathbf{y})]$$



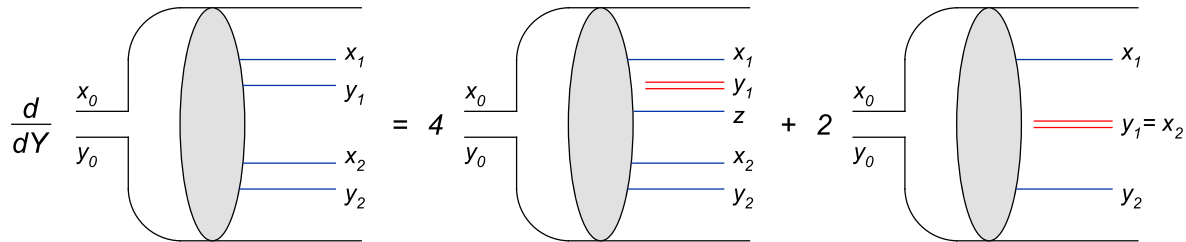
Evolução dipolar com flutuações

Para a densidade de um par de dipolos

$$n_N^{(2)}(\mathbf{x}_1, \mathbf{y}_1; \mathbf{x}_2, \mathbf{y}_2) = : n_N(\mathbf{x}_1, \mathbf{y}_1) n_N(\mathbf{x}_2, \mathbf{y}_2) : \\ \equiv n_N(\mathbf{x}_1, \mathbf{y}_1) n_N(\mathbf{x}_2, \mathbf{y}_2) - \delta^{(2)}(\mathbf{x}_1 - \mathbf{x}_2) \delta^{(2)}(\mathbf{y}_1 - \mathbf{y}_2) n_N(\mathbf{x}_1, \mathbf{y}_1)$$

temos que

$$\frac{\partial n_Y^{(2)}(\mathbf{x}_1, \mathbf{y}_1; \mathbf{x}_2, \mathbf{y}_2)}{\partial Y} = \frac{\bar{\alpha}}{2\pi} \left[\int d^2 z \mathcal{M}_{\mathbf{x}_1 \mathbf{y}_1 z} \otimes n_Y^{(2)}(\mathbf{x}_1, \mathbf{y}_1; \mathbf{x}_2, \mathbf{y}_2) \right. \\ \left. + \mathcal{M}(\mathbf{x}_1, \mathbf{y}_2, \mathbf{x}_2) n_Y(\mathbf{x}_1, \mathbf{y}_2) \delta^{(2)}(\mathbf{x}_2 - \mathbf{y}_1) \right] + \{1 \leftrightarrow 2\}$$





Evolução com saturação e flutuações

- A hierarquia de Balitsky, e portanto a equação BK, não leva em conta os efeitos de flutuações no número de dipolos no **alvo**
- Seja o espalhamento de **um** dipolo externo com um alvo **diluto**. A amplitude de espalhamento para este processo é dada por

$$T_Y(\mathbf{r}, \mathbf{b}) = \int d^2 \mathbf{r}_1 \int d^2 \mathbf{b}_1 \mathcal{T}_0(\mathbf{r}, \mathbf{r}_1, \mathbf{b} - \mathbf{b}_1) n_Y(\mathbf{r}_1, \mathbf{b}_1)$$

- Na região diluta, a densidade de dipolos é descrita pela evolução BFKL:

$$n_Y(\mathbf{r}_1, \mathbf{b}) \sim \frac{1}{r_1^4} (r_1^2 Q_c^2(\mathbf{b}, Y))^{\gamma_c}$$

Com isso

$$T_Y(\mathbf{r}, \mathbf{b}) \simeq \alpha_s^2 r^4 n_Y(\mathbf{r}, \mathbf{b})$$

- A amplitude para **dois** dipolos é

$$\begin{aligned} T_Y^{(2)}(\mathbf{r}_1, \mathbf{b}_1; \mathbf{r}_2, \mathbf{b}_2) &= T_Y(\mathbf{r}_1, \mathbf{b}_1) T_Y(\mathbf{r}_2, \mathbf{b}_2) \\ &\simeq \alpha_s^4 r_1^4 r_2^4 : n_Y(\mathbf{r}_1, \mathbf{b}_1) n_Y(\mathbf{r}_2, \mathbf{b}_2) : \end{aligned}$$



Evolução com saturação e flutuações

- A evolução de tais amplitudes é obtida através das expressões para $n_Y, n_Y^{(2)}$.
- Estas evoluções são estendidas para o regime de saturação pela inclusão dos termos de correlação, como ocorre na hierarquia de Balitsky. Assim, para n_Y adicionamos $\langle -T(\mathbf{x}, \mathbf{z})T(\mathbf{z}, \mathbf{y}) \rangle_Y \equiv -\langle T^{(2)}(\mathbf{x}, \mathbf{z}; \mathbf{z}, \mathbf{y}) \rangle_Y$

$$\frac{\partial \langle T(\mathbf{x}, \mathbf{y}) \rangle_Y}{\partial Y} = \frac{\bar{\alpha}}{2\pi} \left\{ \int d^2 \mathbf{z} \mathcal{M}_{\mathbf{x}\mathbf{y}\mathbf{z}} \otimes \langle T_Y(\mathbf{x}, \mathbf{y}) \rangle_Y - \mathcal{M}(\mathbf{x}, \mathbf{y}, \mathbf{z}) \langle T^{(2)}(\mathbf{x}, \mathbf{z}; \mathbf{z}, \mathbf{y}) \rangle_Y \right\}$$

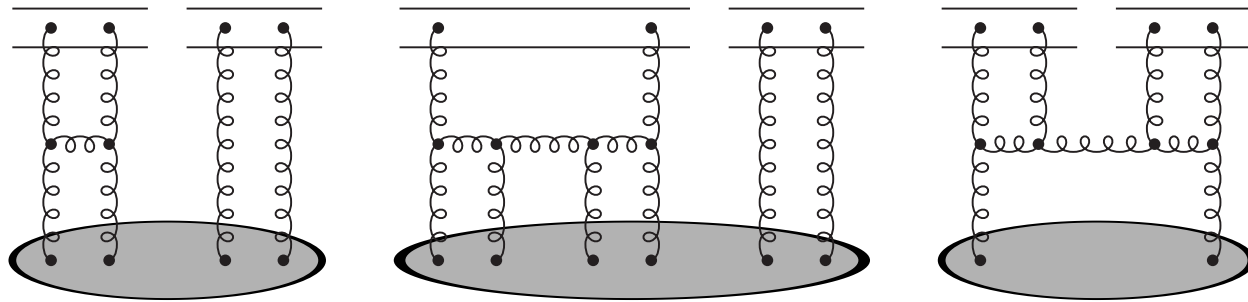
- Para o espalhamento de dois dipolos e o alvo

$$\begin{aligned} \frac{\partial \langle T^{(2)}(\mathbf{x}_1, \mathbf{y}_1; \mathbf{x}_2, \mathbf{y}_2) \rangle_Y}{\partial Y} = & \frac{\bar{\alpha}}{2\pi} \left\{ \int d^2 \mathbf{z} \left[\mathcal{M}_{\mathbf{x}_1 \mathbf{y}_1 \mathbf{z}} \otimes \langle T^{(2)}(\mathbf{x}_1, \mathbf{y}_1; \mathbf{x}_2, \mathbf{y}_2) \rangle_Y \right. \right. \\ & \left. \left. - \mathcal{M}(\mathbf{x}_1, \mathbf{y}_1, \mathbf{z}) \langle T^{(3)}(\mathbf{x}_1, \mathbf{z}; \mathbf{z}, \mathbf{y}_1; \mathbf{x}_2, \mathbf{y}_2) \rangle_Y \right] \right. \\ & \left. + \kappa \alpha_s^2 \mathcal{M}(\mathbf{x}_1, \mathbf{y}_2, \mathbf{x}_2) \langle T(\mathbf{x}_1, \mathbf{y}_2) \rangle_Y \delta^{(2)}(\mathbf{x}_2 - \mathbf{y}_1) \right\} + \{1 \leftrightarrow 2\} \end{aligned}$$

Evolução com saturação e flutuações

GFPAE

● Diagramaticamente



termo BFKL : $\partial_Y \langle T^2 \rangle \propto \langle T^2 \rangle$

termo de saturação (fusão de Pomerons): $\partial_Y \langle T^2 \rangle \propto \langle T^3 \rangle$

termo de flutuação (desdobramento de Pomerons): $\partial_Y \langle T^2 \rangle \propto \langle T \rangle$

- Fusão de Pomerons + desdobramento de Pomerons = Equações de laços de Pomerons
- Dificuldade: A hierarquia de equações obtida é bastante complicada



Equação de Langevin

- Supõe-se quasi-localidade no parâmetro de impacto \mathbf{b} : Alvo quase homogêneo
- Todos os termos, exceto os termos de flutuações, se tornam locais em \mathbf{b}
- Trabalhando no espaço de momentum

$$\varphi(\mathbf{k}, \mathbf{b}) = \int \frac{d^2 \mathbf{r}}{2\pi r^2} e^{-i\mathbf{k}\cdot\mathbf{r}} T(\mathbf{r}, \mathbf{b})$$

- os termos não lineares se tornam locais em \mathbf{k}
- A evolução para o espalhamento de um dipolo externo é dada no espaço de momentum por

$$\begin{aligned} \frac{\partial \langle \varphi(\mathbf{k}, \mathbf{b}) \rangle_Y}{\partial Y} &= \bar{\alpha} \int \frac{d^2 \mathbf{p}}{\pi} \frac{\mathbf{k}^2}{\mathbf{p}^2 (\mathbf{k} - \mathbf{p})^2} \left\langle \frac{\mathbf{p}^2}{\mathbf{k}^2} \varphi(\mathbf{p}, \mathbf{b}) - \frac{1}{2} \varphi(\mathbf{k}, \mathbf{b}) \right\rangle_Y \\ &\quad - \bar{\alpha} \langle \varphi^2(\mathbf{k}, \mathbf{b}) \rangle_Y \end{aligned}$$

- Para dois dipolos a evolução é similar, mas com um termo de flutuação, dado no espaço de momentum por

$$\begin{aligned} \frac{\partial \langle \varphi(\mathbf{k}_1, \mathbf{b}_1) \varphi(\mathbf{k}_2, \mathbf{b}_2) \rangle_Y}{\partial Y} \Big|_{\text{flut}} &= \bar{\alpha} 2\kappa \alpha_s^2 \delta^{(2)}(\mathbf{k}_1 - \mathbf{k}_2) \int \frac{d^2 \mathbf{r}}{2\pi r^2} e^{-i\mathbf{k}\cdot\mathbf{r}} \langle T(\mathbf{r}, \mathbf{b}_1) \rangle_Y \\ &\quad \times \delta^{(2)}\left(\mathbf{b}_1 - \mathbf{b}_2 - \frac{\mathbf{r}}{2}\right) \end{aligned}$$



Equação de Langevin

- Problema! a função delta impede a localidade do termo de flutuações
- Solução: discretizar o espaço de parâmetro de impacto
- No espaço de momentum, discretiza-se o espaço em células de área $1/k^2$

$$\varphi_i(\mathbf{k}) \equiv k^2 \int_{\Sigma_i(\mathbf{k})} d^2\mathbf{b} \varphi(\mathbf{k}, \mathbf{b}), \quad \varphi_i^2(\mathbf{k}) \equiv k^2 \int_{\Sigma_i(\mathbf{k})} d^2\mathbf{b} \varphi^2(\mathbf{k}, \mathbf{b}), \quad \dots$$

- Isto equivale a tomar o valor das amplitudes no centro de cada célula:

$$\varphi_i(\mathbf{k}) \approx \varphi(\mathbf{k}, \mathbf{b}_i) \text{ e } \varphi_i^2(\mathbf{k}) \approx [\varphi_i(\mathbf{k})]^2$$

$$\left. \frac{\partial \langle \varphi(\mathbf{k}_1, \mathbf{b}_1) \varphi(\mathbf{k}_2, \mathbf{b}_2) \rangle_Y}{\partial Y} \right|_{\text{flut}} = \bar{\alpha} 2\kappa \alpha_s^2 k_1^2 \delta^{(2)}(\mathbf{k}_1 - \mathbf{k}_2) \langle \varphi_i(\mathbf{k}_1) \rangle_Y$$

- A segunda equação da hierarquia é agora

$$\begin{aligned} \frac{\partial \langle \varphi_i(\mathbf{k}_1) \varphi_i(\mathbf{k}_2) \rangle_Y}{\partial Y} = & \bar{\alpha} \left\{ \int \frac{d^2\mathbf{p}}{2\pi} \frac{k_1^2}{\mathbf{p}^2 (\mathbf{k}_1 - \mathbf{p})^2} \left\langle \left(2 \frac{\mathbf{p}^2}{k_1^2} \varphi_i(\mathbf{p}) - \varphi_i(\mathbf{k}_1) \right) \varphi_i(\mathbf{k}_2) \right\rangle_Y \right. \\ & \left. - \langle \varphi_i^2(\mathbf{k}_1) \varphi_i(\mathbf{k}_2) \rangle_Y + \kappa \alpha_s^2 \delta^{(2)}(\mathbf{k}_1 - \mathbf{k}_2) k_1^2 \langle \varphi_i(\mathbf{k}_1) \rangle_Y \right\} + \{1 \leftrightarrow 2\} \end{aligned}$$



Equação de Langevin

Toda a hierarquia de equações pode ser escrita em termos de uma equação de Langevin (Iancu, Triantafyllopoulos - 2005)

$$\frac{\partial \varphi(\mathbf{k})}{\partial Y} = \bar{\alpha} \int \frac{d^2 \mathbf{p}}{2\pi} \frac{k^2}{\mathbf{p}^2 (\mathbf{k} - \mathbf{p})^2} \left(2 \frac{\mathbf{p}^2}{k^2} \varphi(\mathbf{p}) - \varphi(\mathbf{k}) \right) - \bar{\alpha} \varphi^2(\mathbf{k}) + \bar{\alpha} \sqrt{2\kappa\alpha_s^2} \varphi(\mathbf{k}) \nu(\mathbf{k})$$

onde $\nu(\mathbf{k}, Y)$ é um ruído branco gaussiano que satisfaz:

$$\langle \nu(\mathbf{k}, Y) \rangle = 0$$
$$\langle \nu(\mathbf{k}_1, Y_1), \nu(\mathbf{k}_2, Y_2) \rangle = \frac{1}{\bar{\alpha}} \delta(Y_1 - Y_2) \delta^{(2)}(\mathbf{k}_1 - \mathbf{k}_2) k_1^2.$$

Esta equação pode ser escrita ainda como

$$\partial_Y \varphi(\mathbf{k}) = \bar{\alpha} \chi(-\partial_L) \varphi(\mathbf{k}) - \bar{\alpha} \varphi^2(\mathbf{k}) + \bar{\alpha} \sqrt{2\kappa\alpha_s^2} \varphi(\mathbf{k}) \nu(\mathbf{k})$$

onde $L = \log(k^2/k_0^2)$, sendo k_0 uma escala de referência e $\chi(-\partial_L)$ é o núcleo da equação BFKL.



A equação sFKPP

● Expandindo $\chi(-\partial_L)$ até segunda ordem, temos que ($\tau = \bar{\alpha}Y$, $\rho \equiv L = \log(k^2/k_0^2)$):

$$\partial_\tau \varphi_\tau(\rho) = (-\lambda \partial_\rho + D(-\partial_\rho - \gamma_c)^2) \varphi_\tau(\rho) - \bar{\alpha} \varphi_\tau^2(\rho) + \sqrt{2\kappa \alpha_s^2} \varphi_\tau(\rho) \nu_\tau(\rho) \quad (3)$$

onde $\lambda \equiv \bar{\alpha} v_c = \bar{\alpha} \chi(\gamma_c)/\gamma_c$, $D = \chi''(\gamma_c)/2$. O ruído branco gaussiano agora obedece as relações

$$\langle \nu(\rho, \tau) \rangle = 0, \quad \langle \nu(\rho_1, \tau_1), \nu(\rho_2, \tau_2) \rangle = \frac{1}{\pi} \delta(\tau_1 - \tau_2) \delta(\rho_1 - \rho_2)$$

● Perante as transformações

$$x \rightarrow \rho, \quad t \rightarrow \bar{\alpha} \tau, \quad N \rightarrow 1/\alpha_s^2, \quad u(x, t) \rightarrow \varphi_\tau(\rho)$$

a equação de Langevin (3) se torna equivalente à equação FKPP estocástica

$$\partial_t u(x, t) = \partial_x^2 u(x, t) + u(x, t)(1 - u(x, t)) + \sqrt{\frac{2}{N}} u(x, t)(1 - u(x, t)) \nu(x, t)$$

onde

$$\langle \nu(x, t) \rangle = 0, \quad \langle \nu(x_1, t_1), \nu(x_2, t_2) \rangle = \delta(t_1 - t_2) \delta(x_1 - x_2)$$



A equação sFKPP

- A descrição de campo médio (BK e FKPP) é obtida quando $N \rightarrow \infty$ e $\alpha_s^2 \rightarrow 0$
- A dinâmica das frentes de onda estocásticas pode ser descrita por uma versão modificada da equação FKPP (Brunet, Derrida - 1997)

$$\partial_t u(x, t) = \partial_x^2 u(x, t) + u(x, t) (1 - u(x, t)) \Theta (1 - \kappa/N)$$

- Analizando a versão linearizada desta equação obtém-se

$$v_N = v_c - \frac{\pi^2 \gamma_c^2 v''(\gamma_c)}{2 \ln^2 N} + \mathcal{O}(1/\ln^3 N)$$

- Em variáveis de QCD ($1/N \rightarrow \alpha_s^2$) e com $v(\gamma) \rightarrow \lambda(\gamma)$

$$\lambda^* = \lambda - \frac{\pi^2 \gamma_c \chi''(\gamma_c)}{2 \ln^2(1/\alpha_s^2)}, \quad \text{para} \quad \alpha_s \ll 1$$

- $\mathcal{C} = \pi^2 \gamma_c \chi''(\gamma_c)/2 \approx 150$, logo λ^* só é conhecido no limite $\alpha_s \rightarrow 0$



A equação sFKPP

- Ruído implica na formação de um ensemble de frentes de onda para uma mesma rapidez
- A posição $\rho_s \equiv \ln(Q_s^2/k_0^2)$ da frente é uma variável aleatória caracterizada por um valor esperado

$$\langle \rho_s(\tau) \rangle \simeq \lambda^* \tau, \quad \text{para} \quad \tau \gg \ln^2(1/\alpha_s^2)$$

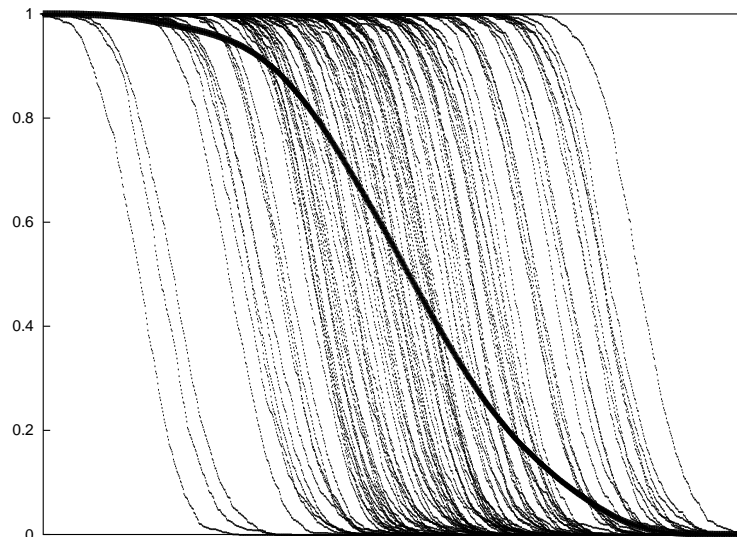
- ρ_s executa uma caminhada aleatória em relação ao seu valor médio, tal que

$$\sigma^2 = \langle \rho_s^2 \rangle - \langle \rho_s \rangle^2 \simeq D\tau$$

onde

$$D \simeq \frac{\mathcal{D}}{\ln^3(1/\alpha_s^2)}, \quad \text{para} \quad \alpha_s \ll 1$$

é o coeficiente de difusão das frentes e \mathcal{D} é um coeficiente desconhecido.



Iancu, Mueller, Munier - 2005

O escalamento difusivo

- A cada evento \rightarrow escalamento geométrico é preservado
- A amplitude média (física) é dada por

$$\langle \varphi(\rho) \rangle_{\tau} = \int_{-\infty}^{\infty} d\rho_s P(\rho_s, \tau) \varphi(\rho, \rho_s)$$

onde

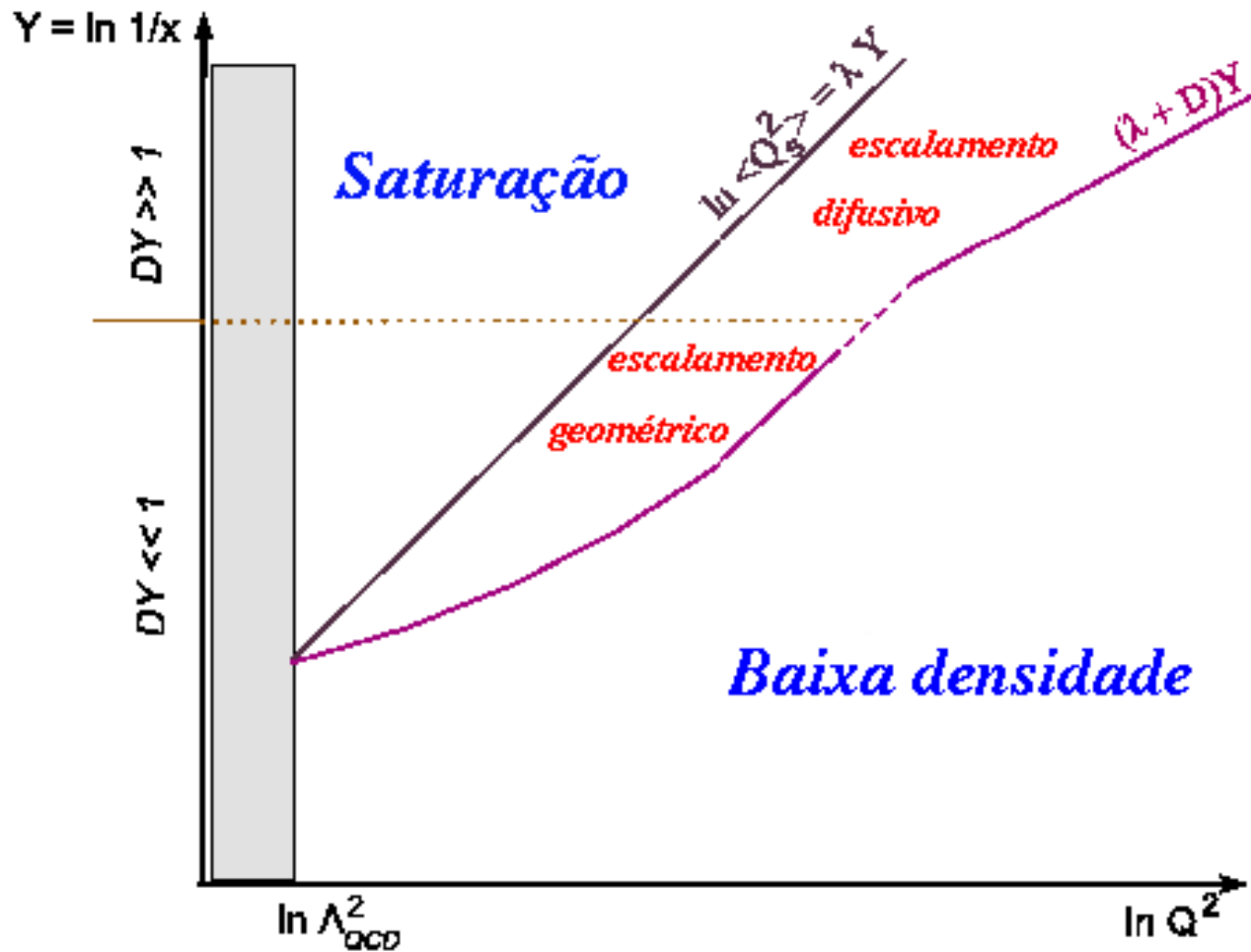
$$P(\rho_s, \tau) = \frac{1}{\sqrt{\pi}\sigma(\tau)} \exp \left[-\frac{(\rho_s - \langle \rho_s \rangle_{\tau})^2}{\sigma^2(\tau)} \right]$$

é a distribuição de probabilidade para a escala de saturação ρ_s

- Em energias suficientemente altas, a amplitude física não preserva o escalamento geométrico.
- Dependências adicionais em Y via σ implicam na substituição do escalamento geométrico pelo chamado **escalamento difusivo** (Iancu, Mueller, Munier - 2005)

$$\langle \varphi(\rho) \rangle_{\tau} \simeq \varphi \left(\frac{\rho - \langle \rho_s \rangle_{\tau}}{\sqrt{\tau / \ln^3(1/\alpha_s^2)}} \right) \simeq \varphi \left(\frac{\rho - \langle \rho_s \rangle_{\tau}}{\sqrt{\tau D}} \right)$$

O escalamento difusivo





Modelo AGBS e as flutuações

- A amplitude do modelo AGBS entra como um único evento na expressão para a amplitude física ($\rho = \ln(k^2/k_0^2)$)

$$\langle T^{AGBS}(\rho, \rho_s) \rangle = \int_{-\infty}^{+\infty} d\rho_s P_Y(\rho_s) T^{AGBS}(\rho, \rho_s).$$

que é usada na expressão para F_2

$$F_2(x, Q^2) = \frac{Q^2 R_p^2 N_c}{4\pi^2} \int_0^\infty \frac{dk}{k} \int_0^1 dz |\tilde{\Psi}(k^2, z; Q^2)|^2 T(k, Y)$$

e então ajustada aos dados de HERA (H1 e ZEUS)

- Parâmetros

livres: R_p , χ_c'' , k_0^2 , λ e D

fixos: $\gamma_c = 0.6275$ e $\bar{\alpha} = 0.2$

- Regime cinemático:

$$\begin{cases} x \leq 0.01, \\ 0.045 \leq Q^2 \leq 150 \text{ GeV}^2 \end{cases}$$


- Total de 279 pontos
- Somente quarks leves são considerados em dois casos: $m_{u,d,s} = 50 \text{ MeV}$ e $m_{u,d,s} = 140 \text{ MeV}$
- Dados de H1 reescalados por um fator 1.0 - 1.05 como usual




Resultados

EB, Gay Ducati, de Oliveira, de Santana Amaral - 2008 [hep-ph/0807.1556]

Aceito para publicação na EPJ C




 $m_{u,d,s} = 50 \text{ MeV}$

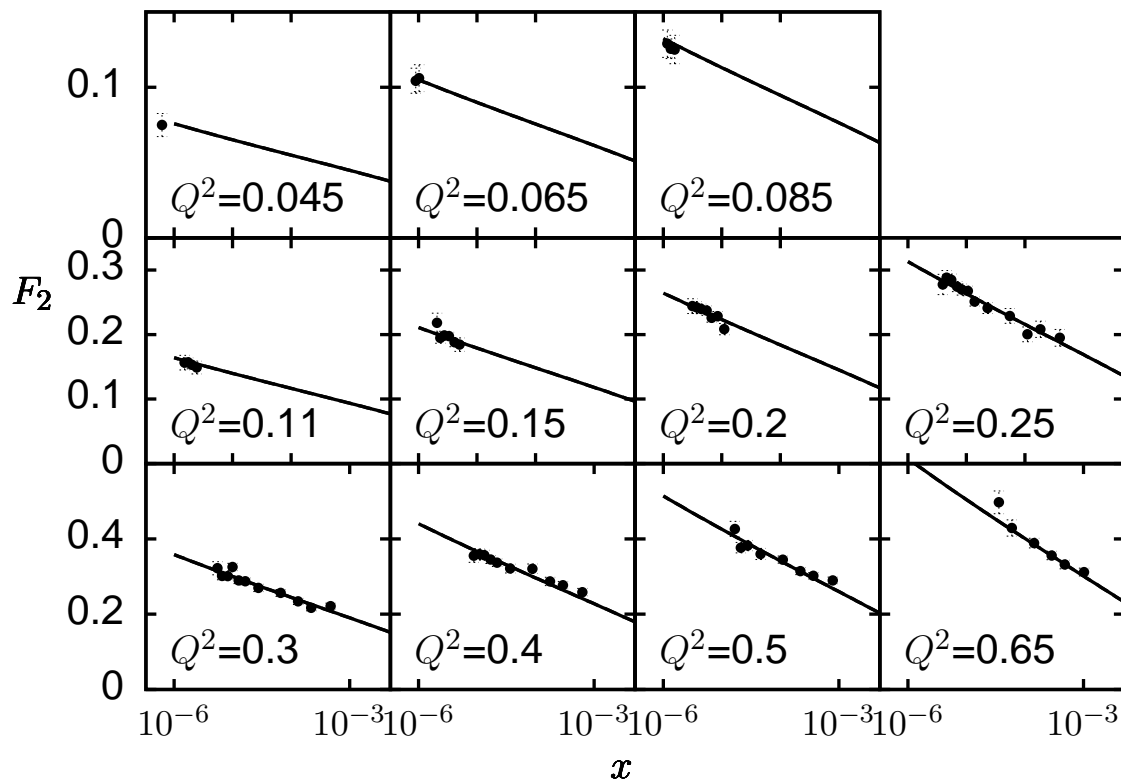
	$\chi^2/\text{n.o.p}$	$k_0^2 (\times 10^{-3})$	λ	$R(\text{GeV}^{-1})$	$\chi''(\gamma_c)$	$D (\times 10^{-2})$
$\tilde{T}_Y^{\text{AGBS}}$	0.949	3.79 ± 0.30	0.213 ± 0.003	3.576 ± 0.059	4.69 ± 0.23	0
$\langle \tilde{T}_Y^{\text{AGBS}} \rangle$	0.949	3.79 ± 0.30	0.213 ± 0.003	3.576 ± 0.059	4.69 ± 0.23	0.0 ± 1.1

 $m_{u,d,s} = 140 \text{ MeV}$

	$\chi^2/\text{n.o.p}$	$k_0^2 (\times 10^{-3})$	λ	$R(\text{GeV}^{-1})$	$\chi''(\gamma_c)$	$D (\times 10^{-3})$
$\tilde{T}_Y^{\text{AGBS}}$	0.942	1.69 ± 0.16	0.176 ± 0.004	4.83 ± 0.12	6.43 ± 0.29	0
$\langle \tilde{T}_Y^{\text{AGBS}} \rangle$	0.942	1.69 ± 0.16	0.176 ± 0.004	4.83 ± 0.12	6.43 ± 0.29	0.0 ± 9.6

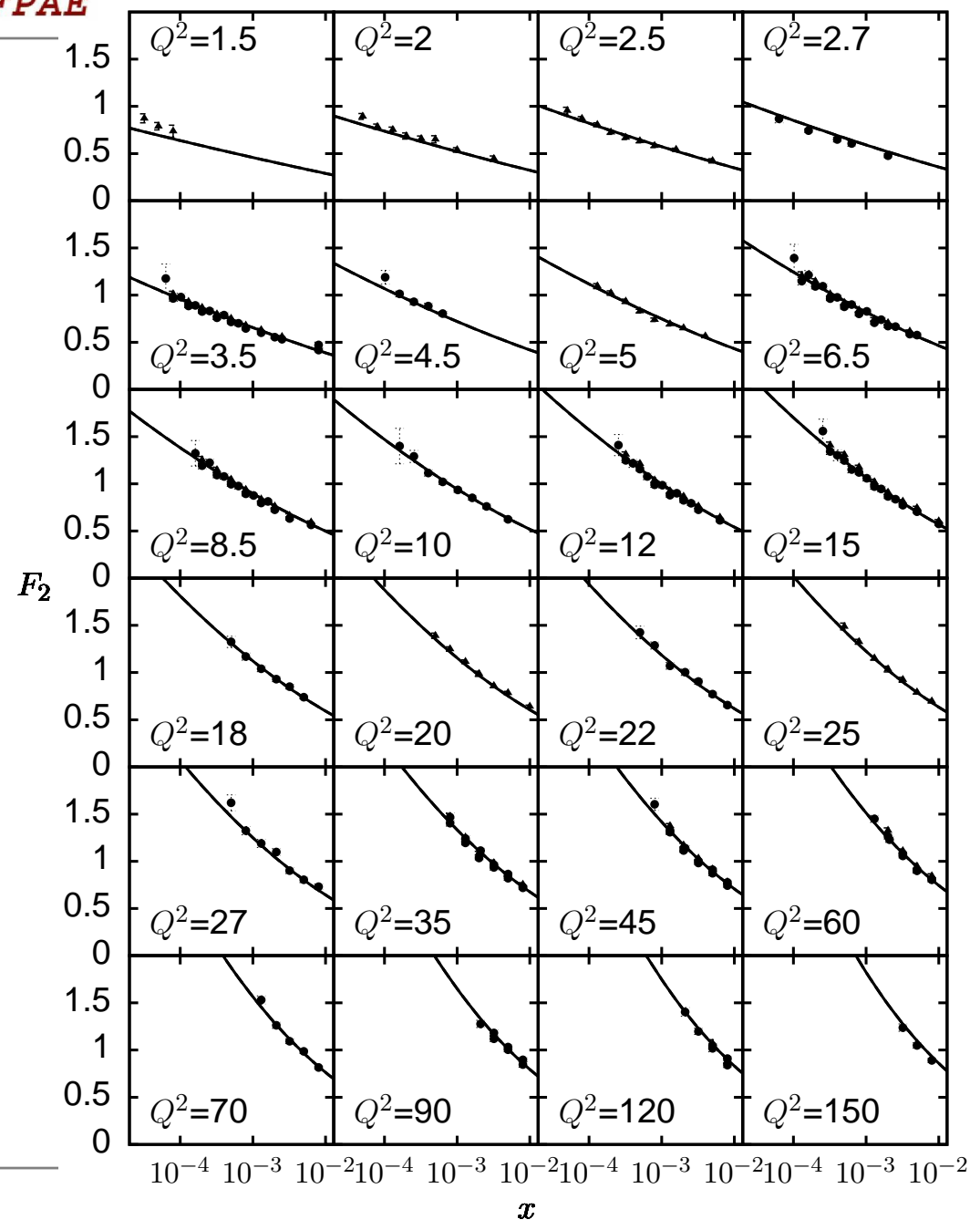
Resultados

-  $m_{u,d,s} = 140 \text{ MeV}$
-  $\bullet \Rightarrow$ ZEUS
-  $\blacktriangle \Rightarrow$ H1





Resultados



- $m_{u,d,s} = 140 \text{ MeV}$
- $\bullet \Rightarrow \text{ZEUS}$
- $\blacktriangle \Rightarrow \text{H1}$



Resultados

- Recentemente, os modelos **GBW** e **IIM** foram usados para investigar efeitos de flutuações em HERA: (Kozlov, Shoshi, Xiang - 2007)
 Regime cinemático $Q^2 < 50 \text{ GeV}^2$ e massas $m_{u,d,s} = 140 \text{ MeV}$
 Ajuste somente aos dados de **ZEUS**
- Como resultado: $D = \mathcal{O}(1)$. Porém inconclusivo em relação a flutuações

EB, Gay Ducati, de Oliveira, de Santana Amaral - 2008 [hep-ph/0807.1556]

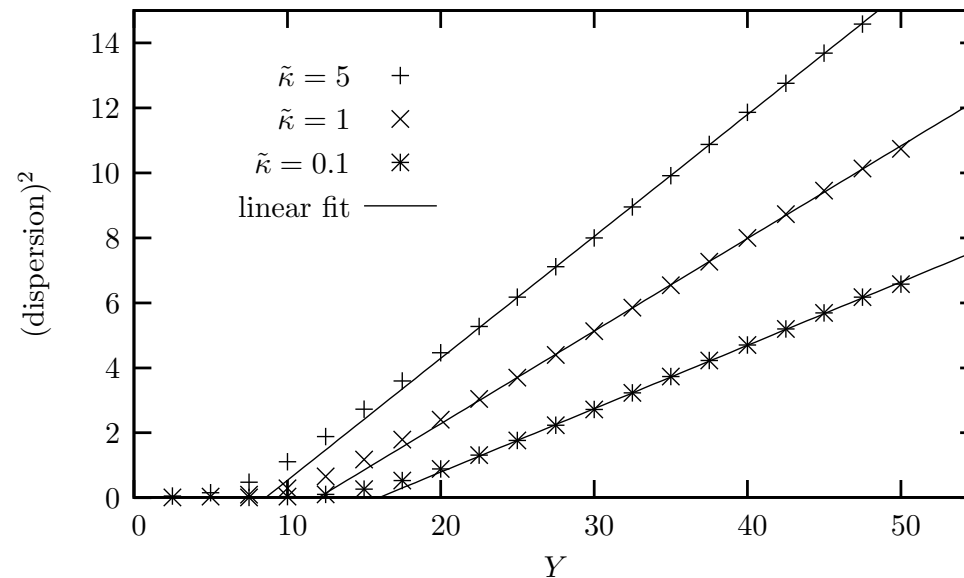
Aceito para publicação na EPJ C

- AGBS** só com dados de **ZEUS**, no regime $Q^2 < 50 \text{ GeV}^2$ e com $m_{u,d,s} = 140 \text{ MeV}$

	$\chi^2/\text{n.o.p}$	$k_0^2 (\times 10^{-3})$	λ	$R(\text{GeV}^{-1})$	$\chi''(\gamma_c)$	D
$\tilde{T}_Y^{\text{AGBS}}$	0.778	1.97 ± 0.22	0.177 ± 0.006	4.68 ± 0.14	5.95 ± 0.94	0
$\langle \tilde{T}_Y^{\text{AGBS}} \rangle$	0.768	1.38 ± 0.12	0.120 ± 0.010	5.46 ± 0.04	5.46 ± 0.55	1.78 ± 0.38

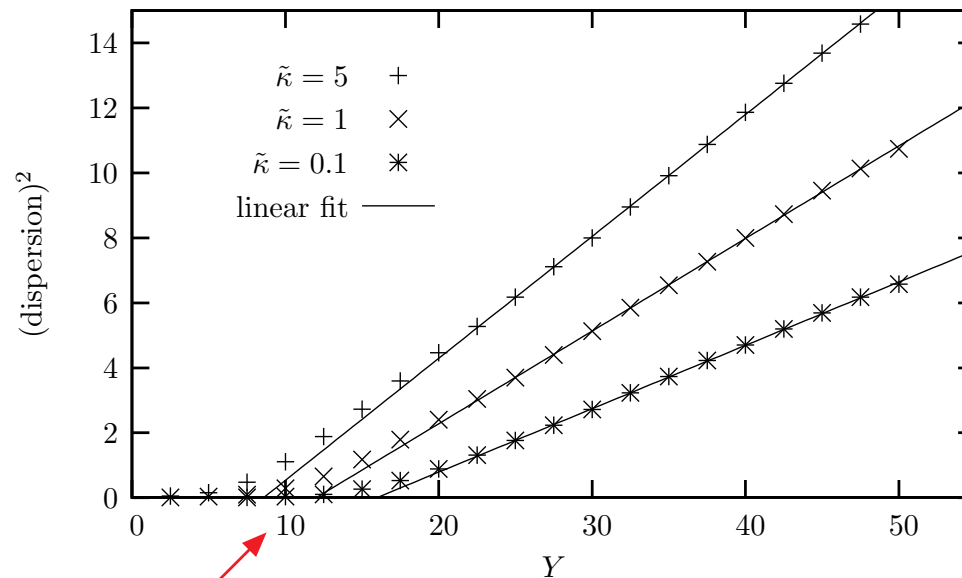
Conclusões

- Concluimos que, sob o ponto de vista do modelo **AGBS** , não há evidência de flutuações nas energias alcançadas em **HERA** :
 Para **H1 + ZEUS**, $D \rightarrow 0$
 Bom $\chi^2/n.o.p$
- Campo médio (**BK**), com α_s fixo é suficiente para descrever os dados
- Este resultado concorda com simulações da equação de Langevin (**Soyez - 2005**)



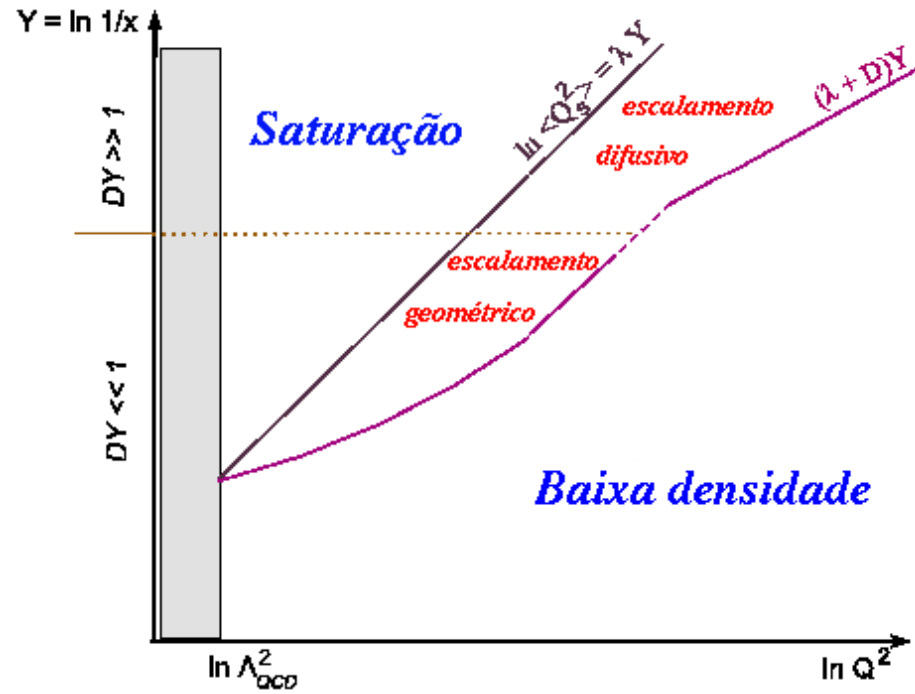
Conclusões

- Concluimos que, sob o ponto de vista do modelo **AGBS**, não há evidência de flutuações nas energias alcançadas em **HERA**:
 Para **H1 + ZEUS**, $D \rightarrow 0$
 Bom $\chi^2/n.o.p$
- Campo médio (**BK**), com α_s fixo é suficiente para descrever os dados
- Este resultado concorda com simulações da equação de Langevin (**Soyez - 2005**)

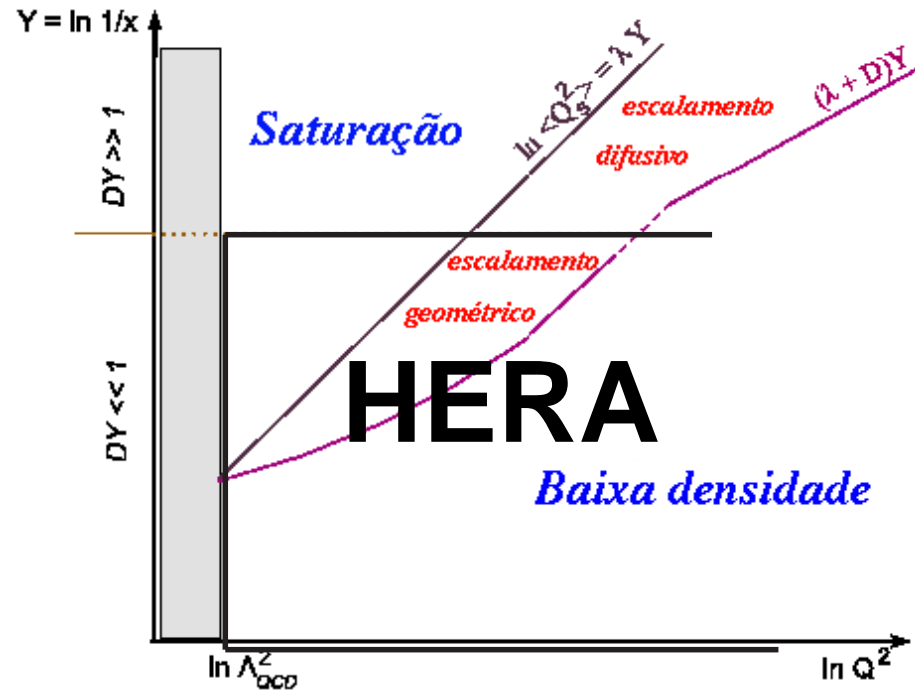


HERA: $Y < 9$

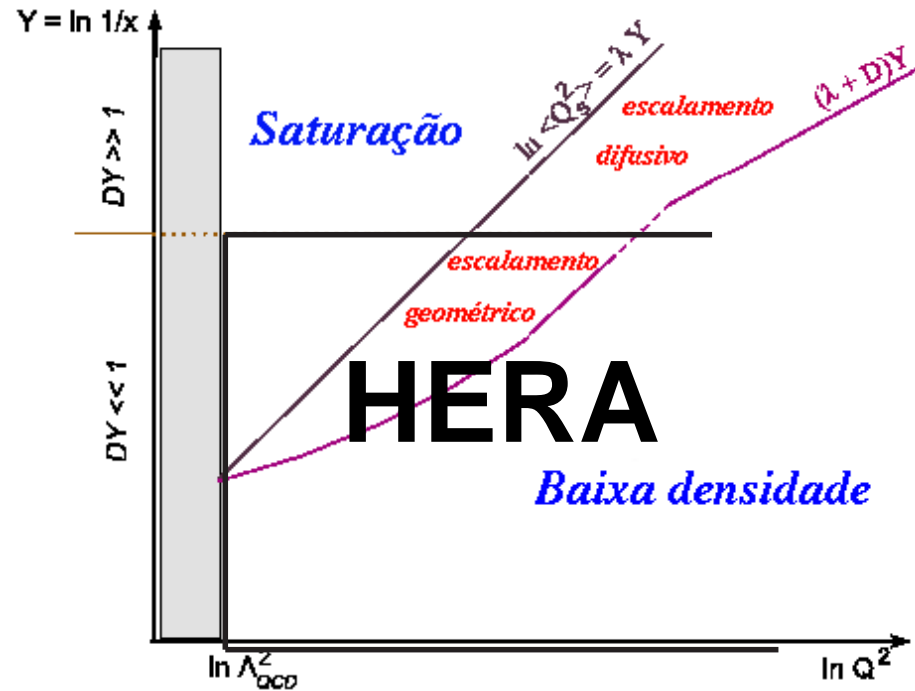
Perspectivas



Perspectivas



Perspectivas



- Em maiores energias (LHC): existem flutuações?
- Acoplamento (α_s) dinâmico suprime efeitos de flutuações?
- Adicionar quarks pesados
- Dependência no parâmetro de impacto